

УДК 539.216.2:538.2

ДОМЕННАЯ СТРУКТУРА ПЕРМАЛЛОЕВЫХ ПЛЕНОК  
С ВРАЩАТЕЛЬНОЙ СИММЕТРИЕЙ ОСИ ЛЕГКОГО НАМАГНИЧИВАНИЯ

Ю.А. Данилевский, Б.П. Малых, Г.Н. Николаева,  
А.А. Селезнев, Л.Н. Стерелюхина

Благодаря работам многих исследователей выявлена тесная взаимосвязь толщины, геометрической формы и наведенной анизотропии с доменной структурой магнитопленочных образцов. Количественные параметры этой взаимосвязи установлены весьма приблизительно, так как возникающие здесь трудности обусловлены не только малыми размерами образцов, но и усугубляются структурными неоднородностями, неизбежными при современном уровне методов получения пленок. Естественным путем является исследование пленочных образцов такой формы и с таким распределением осей легкого намагничивания (ОЛН), которые бы упростили анализ различных доменных структур. Одним из классов подобных образцов являются плоские кольцевые пленки с вращательной симметрией ОЛН, характеризующиеся тем, что ОЛН в каждой точке составляют постоянный угол  $\alpha$  с радиальным направлением (рис. I). Таким образом, изменением направления ОЛН (например, посредством отката) можно контролируемым образом дозировать величину размагничивающего поля, равного нулю при круговом направлении ( $\alpha = \frac{\pi}{2}$ ) и максимального при радиальном распределении ОЛН ( $\alpha = 0$ ). На рис. 2, а-в представлено изменение доменной структуры в за-

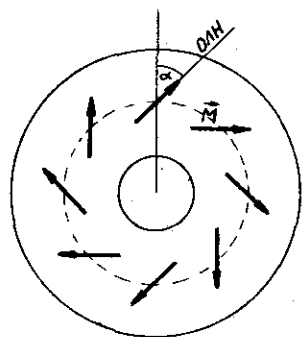


Рис.1

вистимости от  $\alpha$ . При этом характерной особенностью является неизменно радиальное направление размагничивающих полей при перемагничивании в магнитных полях вращательной симметрией.

В данной работе излагаются наиболее существенные результаты исследований в формировании и движении междоменных границ при квазистатическом перемагничивании серии пленочных образцов из указанного класса. Некоторые процессы перемагничивания были за-

фиксированы в кинофильме [1].

Наблюдения проводились на кольцевых пленках с внутренним и внешним диаметрами соответственно 0,15 см и 1 см, полученных вакуумной конденсацией пермаллоя (80% Ni, 20% Fe) в присутствии циркулярного и радиального магнитных полей.

#### Пленки с круговой анизотропией

Основной особенностью пленок с круговой анизотропией (ПКА,  $\alpha = \frac{\pi}{2}$ ) является отсутствие краевого эффекта и связанных с ним полей рассеяния, что существенно оказывается на процессах перемагничивания вдоль ОМН.

Процесс перемагничивания в циркулярном поле при этом выглядит следующим образом: при некотором значении поля на предварительно намагниченном до насыщения образце формируется единичная круговая 180-градусная граница, которая смещается при дальнейшем увеличении поля, сохраняя в среднем форму окружности [2,3]. Это происходит благодаря уменьшению напряженности магнитного поля с расстоянием от оси симметрии. Возникающая таким образом относительно простая доменная структура с одной междоменной границей привлекает внимание возможностью получить более точную информацию о характеристиках магнитной структуры. Так, установленная линейная связь между изменением намагничен-

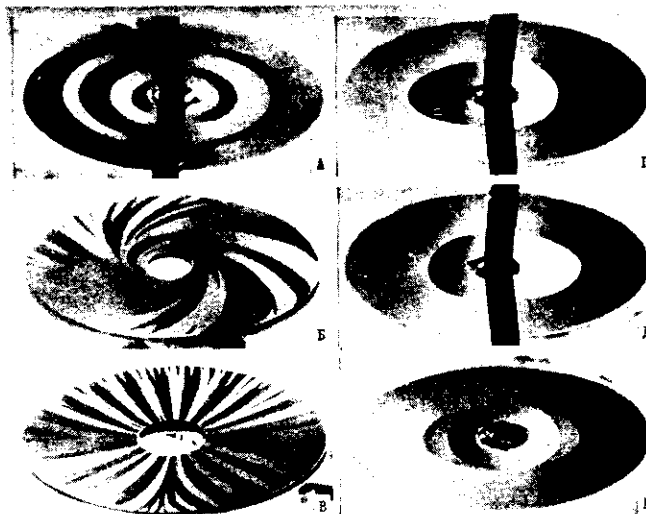


Рис. 2

ности и радиусом движущейся границы позволяет определить коэрцитивную силу  $H_c$  и оценить поверхностную плотность граничной энергии [2-4].

Если подействовать на пленку переменным радиальным полем, то в циркулярном постоянном поле наблюдается сползание круговой границы. Сползание при расширении границы происходит медленнее, чем при сжатии, и, следовательно, одно и то же расстояние граница преодолевает в зависимости от направления смещения за разное время. Это различие разумно приписать проявлению упругих свойств границы.

Своеборзное поведение по сравнению с обычными одноосными пленками обнаруживают ПКА, благодаря отсутствию краевого эффекта, при размагничивании в затухающем переменном циркулярном поле (так называемый безгистерезисный или идеальный режим намагничивания). При плавном убывании переменного поля до нуля пленка приходит в однодоменное состояние с намагниченностью по или

против часовой стрелки, что соответствует минимуму магнитной энергии. При достаточно быстром снятии поля доменная структура ПКА распадается на ряд кольцевых доменов (рис. 2, а). В случае компенсации лабораторного поля состояния с намагниченностью по или против часовой стрелки равновероятны. Дополнительно прикладывая циркулярное постоянное поле, можно управлять конечным состоянием пленки в зависимости от полярности поля. Если в обычных пленках крутизва бегаистерезисной кривой намагничивания определяется размагничивающим фактором  $N$ , зависящим от толщины образца [5], то в случае ПКА влияние толщины пленки на крутизну мало, что приводит к значительному возрастанию "идеальной" проницаемости  $\mu_i$ . Например, для образца толщиной  $d = 2700 \text{ \AA}$   $\mu_i \approx 10^6$ . Конечное значение  $\mu_i$  связано, по-видимому, с внутренними размагничивающими полями из-за неоднородностей магнитной структуры и поэтому может служить мерой для экспериментальной оценки этих неоднородностей.

Если перемагничивание ПКА вдоль оси легкого намагничивания происходит в неоднородном поле, то режим перемагничивания вдоль оси трудного намагничивания (радиальное направление) осуществляется в достаточно однородном радиальном поле с помощью плоской спиральной катушки с током. В этом режиме движение вектора намагниченности  $\vec{M}$  происходит главным образом процессом вращения. В отличие от обычных пленок в ПКА при отклонении вектора намагниченности из циркулярного направления в радиальное появляются не только поверхностные, но и объемные заряды. В обычных пленках при когерентном вращении  $\vec{M}$  направление размагничивающего поля меняется, а величина (в рассматриваемой точке) остается постоянной. В ПКА, напротив, поворот  $\vec{M}$  в радиальном направлении вызывает возникновение размагничивающего поля, направленного только по радиусу и изменяющегося в зависимости от величины радиальной компоненты  $\vec{M}$ . Вследствие этого при экспериментальном определении поля анизотропии  $H_k$  фактически измеряется эффективное  $H_k$ . Так, учет только объемных зарядов при толщине пленки 2000  $\text{\AA}$  приводит к увеличению  $H_k$  на 10% [3].

Как отмечалось выше, междоменная граница в ПКА только в среднем имеет форму окружности. Разумно предположить, что отклонения от окружности связаны с амплитудной и угловой дисперсией анизотропии. Аналогичное предположение было сделано ранее

[6] и использовалось для измерения угловой дисперсии по искривлению границы в обычных одноосных пленках. Причем получено соответствие с измерениями, выполненными общепринятыми способами.

В ПКА естественно ввести понятие амплитудной и угловой дисперсии поля анизотропии соответственно следующим образом:

$$\sigma_H^2 = \frac{1}{2\pi R_0^2} \int_0^{2\pi} (\rho(\varphi) - R_0)^2 d\varphi,$$

$$\sigma_\alpha^2 = \frac{1}{2\pi} \int_0^{2\pi} \left( \operatorname{arctg} \frac{dp/d\varphi}{\rho(\varphi)} \right)^2 d\varphi,$$

а также корреляцию между амплитудами и угловыми разбросами:

$$\sigma_{H\alpha} = \frac{1}{2\pi R_0} \int_0^{2\pi} (\rho(\varphi) - R_0) \operatorname{arctg} \frac{dp/d\varphi}{\rho} d\varphi,$$

где  $\rho(\varphi)$  — уравнение контура границы в полярных координатах;

$R_0$  — радиус окружности, дадший минимум среднеквадратичному отклонению данного контура от окружности;

$S$  и  $\varphi$  — полярные координаты геометрического центра контура (рис. 3).

Экспериментально уравнение контура  $\rho(\varphi)$  границы определялось с помощью порошковой методики. Представление  $\rho(\varphi)$  в виде ряда Фурье проводилось на ЭВМ по методу наименьших квадратов. Для трех пленочных образцов, имеющих контур междоменной границы, близкий к окружности, были получены следующие данные:

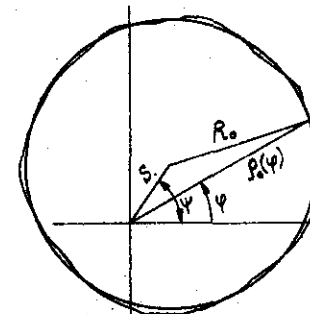


Рис. 3

	$\sigma_H \cdot 10^6$	$\sigma_\alpha$ , град.	$\sigma_{H\alpha} \cdot 10^6$
1	4,3	3,8	1,23
2	3,1	5,4	0,6
3	6,3	6,1	10,3

Однако более детальную информацию о дисперсии поля анизотропии

можно получить, рассматривая соответствующие корреляционные функции. Например, график амплитудной корреляционной функции для одного из контуров границы в полярных координатах, приведенный на рис. 4, говорит о главном вкладе первой гармоники:

$$K(\varphi) = \frac{1}{2\pi R_0^2} \int_0^{2\pi} [\rho(\varphi') - R_0][\rho(\varphi + \varphi') - R_0] d\varphi'.$$

Следовательно, в данном случае существенная часть  $\delta_H$  характеризует сдвиг контура границы относительно геометрического центра пленки, а остальная часть  $\delta_H$  определяет другие неоднородности в пленке. Аналогично может быть введен ряд других корреляционных функций.

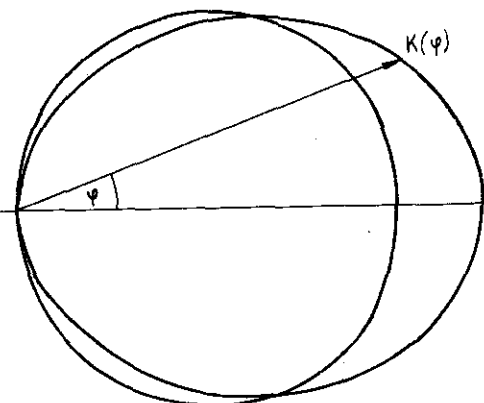


Рис. 4

поля которых являются источником доменообразования. Следовательно, на определенной стадии перемагничивания процесс смещения границ становится определяющим. Вследствие этого квэрцитивная сила  $H_c$ , измеренная в однородном поле, примерно в 2 раза меньше  $H_c$ , рассчитанной по модели вращения [3],

Представляет интерес поведение круговой границы в однородном переменном поле. На рис. 2, e (поле направлено вертикально) показаны колебания границы, которые начинаются при амплитуде поля, близкой к квэрцитивной силе смещения границы, и про-

исходят перпендикулярно направлению поля. Размах колебаний увеличивается с ростом амплитуды поля. Он максимальен в точках границы, где поле параллельно ОЛН, и практически отсутствует в точках, где направление поля перпендикулярно ОЛН. Граница как бы закреплена в этих двух точках. При этом, как видно из рис. 2, г и д, на которых показаны два крайних положения границы, происходит деформация круговой границы, обусловленная совместным действием поля анизотропии, внешнего и возникающего в данном случае размагничивающего полей. При плавном убывании амплитуды переменного поля до нуля граница возвращается в исходное состояние, приобретая круговую форму, что говорит об устойчивости кольцевой доменной структуры к внешним полям. Начиная с какого-то критического поля, значение которого находится примерно на середине между квэрцитивной силой смещения границы и квэрцитивной силой в однородном поле, круговая граница начинает разрушаться. Появляются новые границы, сползающие по линии действия поля вдоль трубы оси [3]. На месте ушедших границ возникают новые, так что вся картина в целом периодически повторяется с частотой, значительно меньшей частоты перемагничивания и зависящей от амплитуды поля. Такие регулярные процессы сползания можно объяснить появлением внутренних неоднородных размагничивающих полей при данном режиме перемагничивания.

#### Пленки с радиальной анизотропией

Если для ПКА однодоменное состояние соответствует минимуму магнитной энергии, то для исследованных пленок с радиальной анизотропией (ПРА,  $\alpha = 0$ ) минимуму энергии удовлетворяет доменная структура с радиально направленными границами. На рис. 2, в показан вид равновесной доменной структуры ПРА после размагничивания в затухающем переменном радиальном поле.

Процесс перемагничивания ПРА вдоль ОЛН (то есть в радиальном поле) благодаря вращательной симметрии происходит практически синхронным смещением междоменных границ. В обычных же пленочных образцах с одноосной анизотропией добиться такого эффекта невозможно. Отметим также, что наличие объемных зарядов при радиальном распределении намагниченности требует для насы-

щения в радиальном направлении при прочих равных условиях большего поля и способствует зародышеобразованию.

Своеобразная ситуация возникает при перемагничивании ПРА в циркулярном поле вдоль оси трудного направления из-за неоднородности поля. Поэтому процесс перемагничивания начинается с внутреннего края пленки некогерентным вращением. Если сравнить экспериментальную начальную проницаемость  $\mu_s$  и начальную проницаемость  $\mu_b$ , рассчитанную по модели вращения с учетом неоднородности поля, то  $\mu_s$  больше  $\mu_b$  примерно в 2-3 раза. Такое различие можно объяснить, во-первых, влиянием поверхностных и объемных зарядов, существенным на внутреннем крае в начале перемагничивания, во-вторых, появлением размагничивающего поля объемных зарядов, возникающих вследствие неоднородного распределения намагниченности в радиальном направлении за счет неоднородности поля. В обычных пленках при перемагничивании в неоднородном поле, приложенном вдоль трудного направления, размагничивающее поле направлено против внешнего поля, что приводит к эффективному увеличению поля анизотропии  $H_k$  [7]. В ПРА размагничивающие поля в силу симметрии перпендикулярны перемагничивающему полю, что, наоборот, эффективно уменьшает  $H_k$ . С увеличением поля вклад поверхностных и объемных зарядов уменьшается, и с приближением пленки к насыщению магнитная проницаемость  $\mu$  стремится к  $\mu_b$ . Таким образом, по сравнению с обычными пленками, где  $\mu$  в трудном направлении мало изменяется от поля, в ПРА  $\mu$  существенно зависит от поля, что затрудняет измерение  $H_k$ .

#### Пленки с промежуточной анизотропией

В промежуточном случае ( $0 < \alpha < \frac{\pi}{2}$ ) доменная структура в размагниченном состоянии имеет спиральный характер (рис. 2, в). Этую особенность можно объяснить, считая намагниченность в доменах направленной по касательной к границе. В самом деле, если принять, с одной стороны, что ОЛН направлена под углом к радиальному направлению, то есть

$$\vec{M} = M_s (\vec{i}_\epsilon \cos \alpha + \vec{i}_\rho \sin \alpha),$$

а с другой стороны, условие

$$(\vec{M} \vec{t}) = M_s,$$

где  $\vec{t}$  — единичный вектор касательной к границе, то нетрудно получить уравнение плоской кривой в полярных координатах, описываемое формулой междоменной границы:

$$\rho = \rho_0 e^{\frac{\pi}{2} \tan \alpha} \quad (\text{логарифмическая спираль}).$$

В частности, при  $\alpha = 0$  следует, что границы радиальные, а при  $\alpha = \frac{\pi}{2}$  — круговые.

Здесь возникает еще более сложная задача по измерению  $H_c$  и  $H_k$  из-за невозможности создать однородное поле для перемагничивания как вдоль ОЛН, так и вдоль ОТН.

#### Литература

1. ДАНИЛЕВСКИЙ Ю.Л., МАЛЫХ Б.П., НИКОЛАЕВА Н.Г., СЕЛЕЗНЕВ А.А., СТЕРЕЛИХИНА Л.Н. Доменная структура плоских пермаллоевых пленок с вращательной симметрией оси легкого намагничивания. — Всесоюзная конференция по магнетизму (тезисы). Красноярск, 20-29 июня 1971.
2. ДАНИЛЕВСКИЙ Ю.Л., СЕЛЕЗНЕВ А.А. Определение энергии 180°-й доменной границы в плоской кольцевой пермаллоевой пленке. — Физика магнитных пленок. Материалы международного симпозиума, 8-16 июля 1968, Иркутск, 1968, стр. 154.
3. ДАНИЛЕВСКИЙ Ю.Л., МАЛЫХ Б.П., СЕЛЕЗНЕВ А.А., СТЕРЕЛИХИНА Л.Н., НИКОЛАЕВА Н.Г. Квазистатическое перемагничивание пермаллоевых пленок с круговой анизотропией. — Вычислительные системы", Новосибирск, 1971, вып. 43, стр. 3-32.
4. КИМ П.Д., ПОТЫЦЫН В.И., БОГАТЫРЕВА Л.А., РОДИЧЕВ Д.М., САФОНОВ И.А. Энергия доменных границ в пермаллоевых пленках. — "Физика металлов и металловедение", 1970, т. 30, вып. 5, стр. 903.
5. ШИКОВ А.Г., ОСУХОВСКИЙ В.Э. Влияние полей рассеяния на намагничивание тонких пермаллоевых пленок. — "Физика магнитных пленок". Материалы международного симпозиума, 8-16 июля 1968, Иркутск, 1968, стр. 107.
6. MASUDA M., FUJII T., and UCHIYAMA S. On Temperature Dependence of Anisotropy Dispersion in Ni-Fe Thin Films. — Jap. J. of Appl. Phys., 1968, vol. 7, N 5, p. 509.
7. ДАНИЛЕВСКИЙ Ю.Л., СЕЛЕЗНЕВ А.А. Действие статического магнитного поля линейных проводников на ферромагнитную пленку. — "Вычислительные системы", Новосибирск, "Наука", 1965, вып. 20, стр. 79.

Поступила в ред.-изд. отд.  
14 июня 1972 г.